

La géométrie Hessienne du gaz parfait

Jérémie Pierard de Maujouy
UCLouvain

arXiv:2404.09035 [math-ph]

Statistique mécanique de Souriau

Variété symplectique (M, ω) .

Groupe de Lie $G \subset \text{Diff}(M)$ préservant ω , algèbre de Lie \mathfrak{g} .

Variété symplectique (M, ω) .

Groupe de Lie $G \subset \text{Diff}(M)$ préservant ω , algèbre de Lie \mathfrak{g} .

Application moment

$J : M \rightarrow \mathfrak{g}^*$ telle que $\forall \xi \in \mathfrak{g}$ on ait

$$d \langle J, \xi \rangle = \omega(\cdot, \xi)$$

$$M = T^*\mathbb{R}^3, \omega = dp_i \wedge dq^i, \text{ paramètre } m \in \mathbb{R}_+^*.$$

$M = T^*\mathbb{R}^3$, $\omega = dp_i \wedge dq^i$, paramètre $m \in \mathbb{R}_+^*$.

Groupe de Galilée

$\text{Gal} := (\mathbb{R} \times \text{SO}(3)) \ltimes (\mathbb{R}^3 \times \mathbb{R}^3)$ avec le produit matriciel suivant

$$(T, R, U, V) \mapsto \begin{pmatrix} R & V & U \\ 0 & 1 & T \\ 0 & 0 & 1 \end{pmatrix}$$

Moments galiléens d'une particule libre

Action symplectique de Gal sur $T^*\mathbb{R}^3$ admet un moment :

Moments galiléens

On utilise des coordonnées (τ, r, u, v) pour gal.

$$J(q, p) = \langle p, dr \cdot q \rangle - \frac{1}{2m} p^2 d\tau + \langle p, du \rangle - \langle q, mdv \rangle$$

États statistiques : **mesures de probabilités** sur M .

États statistiques : **mesures de probabilités** sur M .

États d'équilibre : **entropie maximale**.

Distributions de Gibbs

Distributions de probabilité sur M d'entropie maximale à $\mathbb{E}[J]$ fixe.

Distributions de probabilité sur M d'entropie maximale à $\mathbb{E}[J]$ fixe.

On définit la **fonction de partition** :

$$Z : \xi \in \mathfrak{g} \mapsto \int_M e^{-\langle J, \xi \rangle} \lambda \in]0, \infty]$$

Distributions de probabilité sur M d'entropie maximale à $\mathbb{E}[J]$ fixe.

On définit la **fonction de partition** :

$$Z : \xi \in \mathfrak{g} \mapsto \int_M e^{-\langle J, \xi \rangle} \lambda \in]0, \infty]$$

Température généralisée

L'*ensemble de Gibbs* associé à (M, J) est un ouvert de \mathfrak{g} :

$$\Omega := \text{int}(\{\xi \in \mathfrak{g} \mid Z(\xi) < \infty\})$$

Distributions de probabilité sur M d'entropie maximale à $\mathbb{E}[J]$ fixe.

On définit la **fonction de partition** :

$$Z : \xi \in \mathfrak{g} \mapsto \int_M e^{-\langle J, \xi \rangle} \lambda \in]0, \infty]$$

Température généralisée

L'*ensemble de Gibbs* associé à (M, J) est un ouvert de \mathfrak{g} :

$$\Omega := \text{int}(\{\xi \in \mathfrak{g} \mid Z(\xi) < \infty\})$$

$\xi \in \Omega$ est appelé **température généralisée**.

Ω paramètre naturellement une famille exponentielle de probabilités sur M :

$$\xi \in \Omega \mapsto P_\xi = \frac{e^{-\langle J, \xi \rangle \lambda}}{Z(\xi)}$$

Ω paramètre naturellement une famille exponentielle de probabilités sur M :

$$\xi \in \Omega \mapsto P_\xi = \frac{e^{-\langle J, \xi \rangle \lambda}}{Z(\xi)}$$

On notera $\mathbb{E}_\xi[f] := \int_M f P_\xi$.

Ω est une partie convexe de \mathfrak{g} stable sous l'action adjointe de G . Z est G -invariant*.

Propriétés de l'ensemble de Gibbs

On pose $z = \ln(Z) : \Omega \rightarrow \mathbb{R}$. « Potentiel thermodynamique ».

Propriétés de l'ensemble de Gibbs

On pose $z = \ln(Z) : \Omega \rightarrow \mathbb{R}$. « Potentiel thermodynamique ».

- 1 z est strictement convexe,

Propriétés de l'ensemble de Gibbs

On pose $z = \ln(Z) : \Omega \rightarrow \mathbb{R}$. « Potentiel thermodynamique ».

- ① z est strictement convexe,
- ② $Q(\xi) := -dz|_{\xi} = \mathbb{E}_{\xi}[J] \in \mathfrak{g}^*$

Propriétés de l'ensemble de Gibbs

On pose $z = \ln(Z) : \Omega \rightarrow \mathbb{R}$. « Potentiel thermodynamique ».

- ① z est strictement convexe,
- ② $Q(\xi) := -dz|_{\xi} = \mathbb{E}_{\xi}[J] \in \mathfrak{g}^*$ définit un difféomorphisme G -équivariant* vers un ouvert $\Omega \xrightarrow{\sim} \Omega^* \subset \mathfrak{g}^*$,

Propriétés de l'ensemble de Gibbs

On pose $z = \ln(Z) : \Omega \rightarrow \mathbb{R}$. « Potentiel thermodynamique ».

- ① z est strictement convexe,
- ② $Q(\xi) := -dz|_{\xi} = \mathbb{E}_{\xi}[J] \in \mathfrak{g}^*$ définit un difféomorphisme G -équivariant* vers un ouvert $\Omega \xrightarrow{\sim} \Omega^* \subset \mathfrak{g}^*$,

\implies structure de Poisson sur Ω

Propriétés de l'ensemble de Gibbs

On pose $z = \ln(Z) : \Omega \rightarrow \mathbb{R}$. « Potentiel thermodynamique ».

- ① z est strictement convexe,
- ② $Q(\xi) := -dz|_{\xi} = \mathbb{E}_{\xi}[J] \in \mathfrak{g}^*$ définit un difféomorphisme G -équivariant* vers un ouvert $\Omega \xrightarrow{\sim} \Omega^* \subset \mathfrak{g}^*$,

\implies structure de Poisson sur Ω , G -invariante.

Propriétés de l'ensemble de Gibbs

On pose $z = \ln(Z) : \Omega \rightarrow \mathbb{R}$. « Potentiel thermodynamique ».

- ① z est strictement convexe,
- ② $Q(\xi) := -dz|_{\xi} = \mathbb{E}_{\xi}[J] \in \mathfrak{g}^*$ définit un difféomorphisme G -équivariant* vers un ouvert $\Omega \xrightarrow{\sim} \Omega^* \subset \mathfrak{g}^*$,

\implies structure de Poisson sur Ω , G -invariante. Action de G est Hamiltonienne !

Propriétés de l'ensemble de Gibbs

On pose $z = \ln(Z) : \Omega \rightarrow \mathbb{R}$. « Potentiel thermodynamique ».

- ① z est strictement convexe,
- ② $Q(\xi) := -dz|_{\xi} = \mathbb{E}_{\xi}[J] \in \mathfrak{g}^*$ définit un difféomorphisme G -équivariant* vers un ouvert $\Omega \xrightarrow{\sim} \Omega^* \subset \mathfrak{g}^*$,

\implies structure de Poisson sur Ω , G -invariante. Action de G est Hamiltonienne !

- ③ L'entropie de P_{ξ} est $s(\xi) = z(\xi) + \langle \xi, Q(\xi) \rangle$,

On pose $z = \ln(Z) : \Omega \rightarrow \mathbb{R}$. « Potentiel thermodynamique ».

- ④ $g = \text{Hess}^\nabla(z)$ définit une métrique Riemannienne G -invariante sur Ω , avec ∇ la dérivée covariante affine de g ,

On pose $z = \ln(Z) : \Omega \rightarrow \mathbb{R}$. « Potentiel thermodynamique ».

- 4 $g = \text{Hess}^\nabla(z)$ définit une métrique Riemannienne G -invariante sur Ω , avec ∇ la dérivée covariante affine de g ,
- 5 La connexion ∇^* , g -adjointe à ∇ , correspond sous Q à la dérivée covariante affine de g^* $\left(X(g(Y, Z)) = g(\nabla_X Y, Z) + g(Y, \nabla_X^* Z) \right)$.

Mécanique statistique du gaz parfait

Gaz parfait de particules ponctuelles

$$M = T^*\mathbb{R}^3, m > 0.$$

Gaz parfait de particules ponctuelles

$$M = T^*\mathbb{R}^3, m > 0.$$

Ensemble de Gibbs

$$\Omega = \emptyset$$

$$M = T^*\mathbb{R}^3, m > 0.$$

Ensemble de Gibbs

$$\Omega = \emptyset$$

C'est en fait le cas de manière générique pour les groupes de Galilée et de Poincaré.

Gaz parfait confiné

Idée : confiner les particules dans une région de volume fini.

Gaz parfait confiné

Idée : confiner les particules dans une région de volume fini.

\implies Groupe de symétrie moindre $G \subset \text{Gal}$.

Idée : confiner les particules dans une région de volume fini.

\implies Groupe de symétrie moindre $G \subset \text{Gal}$.

Souriau : enceinte cylindrique d'une centrifugeuse :

$$G \simeq \mathbb{R} \times \text{SO}(2).$$

Idée : confiner les particules dans une région de volume fini.

\implies Groupe de symétrie moindre $G \subset \text{Gal}$.

Souriau : enceinte cylindrique d'une centrifugeuse :

$$G \simeq \mathbb{R} \times \text{SO}(2).$$

On choisit plutôt une enceinte **sphérique** :

$$G \simeq \mathbb{R} \times \text{SO}(3).$$

Particule libre confinée dans une sphère

$M = T^*B(O, R)$ espace cotangent d'une boule de rayon $R > 0$.

Particule libre confinée dans une sphère

$M = T^*B(O, R)$ espace cotangent d'une boule de rayon $R > 0$.

Stable par rotations $SO(3)$ mais instable sous l'écoulement du temps \mathbb{R} :
les particules *quittent la boule*.

Particule libre confinée dans une sphère

$M = T^*B(O, R)$ espace cotangent d'une boule de rayon $R > 0$.

Stable par rotations $SO(3)$ mais instable sous l'écoulement du temps \mathbb{R} :
les particules *quittent la boule*.

Actions Hamiltoniennes du *groupe* $SO(3)$ et de l'*algèbre de Lie* \mathbb{R} .

Moments sphériques d'une particule

Coordonnées $(-\beta, r) \in \underbrace{\mathbb{R}}_{\text{temps}} \times \mathfrak{so}(3)$.

$$J(q, p) = \frac{p^2}{2m} d\beta + \underbrace{\langle p, dr \cdot q \rangle}_{\text{"}\langle dr, q \times p \rangle\text{"}} \in (\mathbb{R} \times \mathfrak{so}(3))^*$$

Moments sphériques d'une particule

Coordonnées $(-\beta, r) \in \underbrace{\mathbb{R}}_{\text{temps}} \times \mathfrak{so}(3)$.

$$J(q, p) = \frac{p^2}{2m} d\beta + \underbrace{\langle p, dr \cdot q \rangle}_{\text{"}\langle dr, q \times p \rangle\text{"}} \in (\mathbb{R} \times \mathfrak{so}(3))^*$$

Pour $\beta \neq 0$ on pose $\omega = -\frac{r}{\beta} \in \mathfrak{so}(3)$.

Moments sphériques d'une particule

Coordonnées $(-\beta, r) \in \underbrace{\mathbb{R}}_{\text{temps}} \times \mathfrak{so}(3)$.

$$J(q, p) = \frac{p^2}{2m} d\beta + \underbrace{\langle p, dr \cdot q \rangle}_{\text{"}\langle dr, q \times p \rangle\text{"}} \in (\mathbb{R} \times \mathfrak{so}(3))^*$$

Pour $\beta \neq 0$ on pose $\omega = -\frac{r}{\beta} \in \mathfrak{so}(3)$. « vitesse d'entraînement » $\omega \cdot q$.

$$\langle J(q, p), (-\beta, r) \rangle = \beta \left(\frac{1}{2m} (p - m\omega \cdot q)^2 - \frac{1}{2} m(\omega \cdot q)^2 \right)$$

Moments sphériques d'une particule

Coordonnées $(-\beta, r) \in \underbrace{\mathbb{R}}_{\text{temps}} \times \mathfrak{so}(3)$.

$$J(q, p) = \frac{p^2}{2m} d\beta + \underbrace{\langle p, dr \cdot q \rangle}_{\text{"}\langle dr, q \times p \rangle\text{"}} \in (\mathbb{R} \times \mathfrak{so}(3))^*$$

Pour $\beta \neq 0$ on pose $\omega = -\frac{r}{\beta} \in \mathfrak{so}(3)$. « vitesse d'entraînement » $\omega \cdot q$.

$$\langle J(q, p), (-\beta, r) \rangle = \beta \left(\frac{1}{2m} (p - m\omega \cdot q)^2 - \frac{1}{2} m(\omega \cdot q)^2 \right)$$

$$\implies P_\xi = \frac{e^{-\langle J, \xi \rangle \lambda}}{Z(\xi)} : \ll \text{Distribution gaussienne de sign. } (+ + + - - 0) \gg$$

On trouve

$$\Omega = \{(-\beta, r) \mid \beta > 0\} = \mathbb{R}_+^* \times \mathfrak{so}(3)$$

On trouve

$$\Omega = \{(-\beta, r) \mid \beta > 0\} = \mathbb{R}_+^* \times \mathfrak{so}(3)$$

« Équilibre thermodynamique dans le référentiel mobile en rotation générée par ω » \implies **centrifuge**.

On trouve

$$\Omega = \{(-\beta, r) \mid \beta > 0\} = \mathbb{R}_+^* \times \mathfrak{so}(3)$$

« Équilibre thermodynamique dans le référentiel mobile en rotation générée par ω » \implies **centrifuge**.

$$Z(\beta, r) = Z_{\text{int}}(\beta) Z_{\text{rot}}(\beta\omega^2)$$

avec

$$Z_{\text{int}}(\beta) = \left(\frac{2\pi m}{\beta} \right)^{3/2}$$
$$Z_{\text{rot}}(\beta\omega^2) = \int_{B(O,R)} e^{\beta m \frac{1}{2}(\omega \cdot q)^2} d^3q$$

On a

$$\Omega = \{(-\beta, r) \mid \beta > 0\} = \mathbb{R}_+^* \times \mathfrak{so}_3$$

Mesures de Gibbs

$$P_{\beta,r} = \frac{e^{-\frac{\beta}{2m}(p-m\omega \cdot q)^2} d^3 p}{Z_{\text{int}}(\beta)} \otimes \frac{e^{\beta \frac{m}{2}(\omega \cdot q)^2} d^3 q}{Z_{\text{rot}}(\beta \omega^2)}$$

On a

$$\Omega = \{(-\beta, r) \mid \beta > 0\} = \mathbb{R}_+^* \times \mathfrak{so}_3$$

Mesures de Gibbs

$$P_{\beta,r} = \frac{e^{-\frac{\beta}{2m}(p-m\omega \cdot q)^2} d^3 p}{Z_{\text{int}}(\beta)} \otimes \frac{e^{\beta \frac{m}{2}(\omega \cdot q)^2} d^3 q}{Z_{\text{rot}}(\beta \omega^2)}$$

- Mesure $\frac{e^{-\frac{\beta}{2m}(p-m\omega \cdot q)^2} d^3 p}{Z_{\text{int}}(\beta)}$ sur $T_q^* B(O, R)$,
- Mesure $\frac{e^{\beta \frac{m}{2}(\omega \cdot q)^2} d^3 q}{Z_{\text{rot}}(\beta \omega^2)}$ sur $B(O, R)$.

On a

$$\Omega = \{(-\beta, r) \mid \beta > 0\} = \mathbb{R}_+^* \times \mathfrak{so}_3$$

$$z = z_{\text{int}}(\beta) + z_{\text{rot}}(\beta\omega^2)$$

On a

$$\Omega = \{(-\beta, r) \mid \beta > 0\} = \mathbb{R}_+^* \times \mathfrak{so}_3$$

$$z = z_{\text{int}}(\beta) + z_{\text{rot}}(\beta\omega^2)$$

avec

$$z_{\text{int}} = -\frac{3}{2} \ln \beta + \text{cst}$$
$$z_{\text{rot}} = \ln \left(\int_{B(O,R)} e^{\frac{\beta m}{2} (\omega \cdot q)^2} d^3 q \right) + \text{cst}$$

On a

$$\Omega = \{(-\beta, r) \mid \beta > 0\} = \mathbb{R}_+^* \times \mathfrak{so}_3$$

$$z = z_{\text{int}}(\beta) + z_{\text{rot}}(\beta\omega^2)$$

avec

$$z_{\text{int}} = -\frac{3}{2} \ln \beta + \text{cst}$$

$$z_{\text{rot}} = \ln \left(\int_{B(O,R)} e^{\frac{\beta m}{2} (\omega \cdot q)^2} d^3 q \right) + \text{cst}$$

Rappel : $dz = -\mathbb{E}_\xi[J]$.

Moments

Ici : $dz = -Ed\beta - \langle M, dr \rangle$ à savoir

$$E := \mathbb{E}[\langle J, \partial_t \rangle] = U_{\text{int}}(\beta) + E_{\text{rot}}(\beta, \omega) \in \underline{\mathbb{R}}^* \simeq \mathbb{R}$$

Moments

Ici : $dz = -Ed\beta - \langle M, dr \rangle$ à savoir

$$E := \mathbb{E}[\langle J, \partial_t \rangle] = U_{\text{int}}(\beta) + E_{\text{rot}}(\beta, \omega) \in \mathbb{R}^* \simeq \mathbb{R}$$

$$U_{\text{int}}(\beta) = \frac{3}{2\beta}$$

$$E_{\text{rot}}(\beta, \omega) = \frac{1}{2} I(\beta \omega^2) \omega^2$$

Moments

Ici : $dz = -Ed\beta - \langle M, dr \rangle$ à savoir

$$E := \mathbb{E}[\langle J, \partial_t \rangle] = U_{\text{int}}(\beta) + E_{\text{rot}}(\beta, \omega) \in \mathbb{R}^* \simeq \mathbb{R}$$

$$U_{\text{int}}(\beta) = \frac{3}{2\beta}$$

$$E_{\text{rot}}(\beta, \omega) = \frac{1}{2} I(\beta \omega^2) \omega^2$$

$$M := \mathbb{E}[\langle J, \partial_r \rangle] = I(\beta \omega^2) \langle \omega, \cdot \rangle \in \mathfrak{so}_3^*$$

Moments

Ici : $dz = -Ed\beta - \langle M, dr \rangle$ à savoir

$$E := \mathbb{E}[\langle J, \partial_t \rangle] = U_{\text{int}}(\beta) + E_{\text{rot}}(\beta, \omega) \in \mathbb{R}^* \simeq \mathbb{R}$$

$$U_{\text{int}}(\beta) = \frac{3}{2\beta}$$

$$E_{\text{rot}}(\beta, \omega) = \frac{1}{2} I(\beta \omega^2) \omega^2$$

$$M := \mathbb{E}[\langle J, \partial_r \rangle] = I(\beta \omega^2) \langle \omega, \cdot \rangle \in \mathfrak{so}_3^*$$

$$I(\beta \omega^2) = \frac{\partial z_{\text{rot}}}{\partial \frac{1}{2} \beta \omega^2} = \frac{4\pi}{\beta m \omega^2 R} \int_0^1 \left(e^{\frac{\beta m \omega^2 R^2}{2} (1-z^2)} - 1 \right) dz$$

Proposition

Soient ω_1, ω_2 deux structures symplectiques sur \mathbb{S}^2 qui sont SO_3 -invariantes. Alors

$$\omega_2 = \frac{\int_{\mathbb{S}^2} \omega_2}{\int_{\mathbb{S}^2} \omega_1} \omega_1$$

Proposition

Soient ω_1, ω_2 deux structures symplectiques sur \mathbb{S}^2 qui sont SO_3 -invariantes. Alors

$$\omega_2 = \frac{\int_{\mathbb{S}^2} \omega_2}{\int_{\mathbb{S}^2} \omega_1} \omega_1$$

\implies proportionnalité des structures de Poisson SO_3 -invariantes !

Structure de Poisson

Plongement $\Omega \xrightarrow{\sim} \Omega^* \xrightarrow{(E,M)} \underline{\mathbb{R}}^* \times \mathfrak{so}_3^*$ induit un bivecteur de Poisson Λ .

Structure de Poisson

Plongement $\Omega \xrightarrow{\sim} \Omega^* \xrightarrow{(E,M)} \underline{\mathbb{R}}^* \times \mathfrak{so}_3^*$ induit un bivecteur de Poisson Λ .

Feuilles symplectiques de $\underline{\mathbb{R}}^* \times \mathfrak{so}_3^*$

Sphères $\{M^2 = \rho^2\}$, E fixé, de surface $4\pi\rho$.

Structure de Poisson

Plongement $\Omega \xrightarrow{\sim} \Omega^* \xrightarrow{(E,M)} \underline{\mathbb{R}}^* \times \mathfrak{so}_3^*$ induit un bivecteur de Poisson Λ .

Feuilles symplectiques de $\underline{\mathbb{R}}^* \times \mathfrak{so}_3^*$

Sphères $\{M^2 = \rho^2\}$, E fixé, de surface $4\pi\rho$.

On note Λ_0 le bivecteur de Poisson « de référence » sur \mathfrak{so}_3 tel que la feuille $\{\omega^2 = \sigma^2\}$ a surface $4\pi\sigma$.

Feuilles symplectiques de Ω

Sphères $\{\omega^2 = \sigma^2\}$, β fixé, de surface $4\pi\|M\| = 4\pi I(\beta\omega^2)\sigma$.

Structure de Poisson

Plongement $\Omega \xrightarrow{\sim} \Omega^* \xrightarrow{(E,M)} \underline{\mathbb{R}}^* \times \mathfrak{so}_3^*$ induit un bivecteur de Poisson Λ .

Feuilles symplectiques de $\underline{\mathbb{R}}^* \times \mathfrak{so}_3^*$

Sphères $\{M^2 = \rho^2\}$, E fixé, de surface $4\pi\rho$.

On note Λ_0 le bivecteur de Poisson « de référence » sur \mathfrak{so}_3 tel que la feuille $\{\omega^2 = \sigma^2\}$ a surface $4\pi\sigma$.

Feuilles symplectiques de Ω

Sphères $\{\omega^2 = \sigma^2\}$, β fixé, de surface $4\pi\|M\| = 4\pi I(\beta\omega^2)\sigma$.

Donc :

$$\Lambda = \frac{1}{I(\beta\omega^2)} \Lambda_0$$

$$g = \nabla^2 z$$

$$g = \nabla^2 z$$

$$g = \frac{3}{2\beta^2} d\beta \otimes d\beta + \beta I \langle d\omega \otimes d\omega \rangle + \frac{1}{2} dI \otimes d(\beta\omega^2)$$

Métrique Hessienne pour le gaz parfait

$$g = \nabla^2 z$$

$$g = \frac{3}{2\beta^2} d\beta \otimes d\beta + \beta I \langle d\omega \otimes d\omega \rangle + \frac{1}{2} dI \otimes d(\beta\omega^2)$$

Dans les coordonnées $(d\beta, dM)$ la métrique prend la forme

$$\begin{bmatrix} \frac{1}{\beta^2} \left(\frac{3}{2} + \frac{\beta\omega^2 I \beta\omega^2 I'}{I + 2\beta\omega^2 I'} \right) & 0 \\ 0 & \frac{\beta}{I + 2\beta\omega^2 I'} \mathbb{I}_3 \end{bmatrix}$$

Le corps rigide

Géométrie Hessienne pour le corps rigide

Changement de modèle : on suppose que l est une constante.

Géométrie Hessienne pour le corps rigide

Changement de modèle : on suppose que I est une constante. Corps rigide à symétrie sphérique.

Géométrie Hessienne pour le corps rigide

Changement de modèle : on suppose que I est une constante. Corps rigide à symétrie sphérique.

On garde : $\Omega = \mathbb{R}_+^* \times \mathfrak{so}_3$ avec

$$E := U_{\text{int}}(\beta) + E_{\text{rot}}(\beta, \omega) \in \mathbb{R} \simeq \underline{\mathbb{R}}^*$$

$$M := I \langle \omega, \cdot \rangle \in \mathfrak{so}_3^*$$

$$E_{\text{rot}}(\beta, \omega) = \frac{1}{2} I \omega^2$$

$$U_{\text{int}}(\beta) = \frac{C}{\beta}$$

Géométrie Hessienne pour le corps rigide

Changement de modèle : on suppose que I est une constante. Corps rigide à symétrie sphérique.

On garde : $\Omega = \mathbb{R}_+^* \times \mathfrak{so}_3$ avec

$$E := U_{\text{int}}(\beta) + E_{\text{rot}}(\beta, \omega) \in \mathbb{R} \simeq \underline{\mathbb{R}}^*$$

$$M := I \langle \omega, \cdot \rangle \in \mathfrak{so}_3^*$$

$$E_{\text{rot}}(\beta, \omega) = \frac{1}{2} I \omega^2$$

$$U_{\text{int}}(\beta) = \frac{C}{\beta}$$

Correspondent à un potentiel $z(\beta, r) = -C \ln \beta + \frac{1}{2\beta} I \omega^2$.

Métrique Hessienne pour le corps rigide

La métrique Hessienne prend la forme suivante :

$$g = C \frac{d\beta \otimes d\beta}{\beta^2} + \beta I \langle d\omega \otimes d\omega \rangle$$

Métrique Hessienne pour le corps rigide

La métrique Hessienne prend la forme suivante :

$$g = C \frac{d\beta \otimes d\beta}{\beta^2} + \beta I \langle d\omega \otimes d\omega \rangle = \frac{4C}{\tilde{u}^2} (d\tilde{u} \otimes d\tilde{u} + \langle d\tilde{m} \otimes d\tilde{m} \rangle)$$

avec $\tilde{u} = 2\sqrt{U_{\text{int}}(\beta)}$ et $\tilde{m} = I^{\frac{1}{2}} \langle \omega, \cdot \rangle$

Métrique Hessienne pour le corps rigide

La métrique Hessienne prend la forme suivante :

$$g = C \frac{d\beta \otimes d\beta}{\beta^2} + \beta I \langle d\omega \otimes d\omega \rangle = \frac{4C}{\tilde{u}^2} (d\tilde{u} \otimes d\tilde{u} + \langle d\tilde{m} \otimes d\tilde{m} \rangle)$$

avec $\tilde{u} = 2\sqrt{U_{\text{int}}(\beta)}$ et $\tilde{m} = I^{\frac{1}{2}} \langle \omega, \cdot \rangle$

Isométrique à l'espace hyperbolique de courbure sectionnelle $-\frac{1}{4C}$!

Métrique Hessienne pour le corps rigide

La métrique Hessienne prend la forme suivante :

$$g = C \frac{d\beta \otimes d\beta}{\beta^2} + \beta I \langle d\omega \otimes d\omega \rangle = \frac{4C}{\tilde{u}^2} (d\tilde{u} \otimes d\tilde{u} + \langle d\tilde{m} \otimes d\tilde{m} \rangle)$$

avec $\tilde{u} = 2\sqrt{U_{\text{int}}(\beta)}$ et $\tilde{m} = I^{\frac{1}{2}} \langle \omega, \cdot \rangle$

Isométrique à l'espace hyperbolique de courbure sectionnelle $-\frac{1}{4C}$!

Gardons pour référence la forme suivante, avec $u = 2/\sqrt{\beta}$:

$$g = \beta (C du \otimes du + I \langle d\omega \otimes d\omega \rangle)$$

Ordre 3

$$D^3z = Dg = \beta^{3/2} (2Cdu^{\otimes 3} + du \cdot I \langle d\omega \otimes d\omega \rangle)$$

Moments supérieurs pour le corps rigide

Ordre 3

$$D^3 z = Dg = \beta^{3/2} (2Cdu^{\otimes 3} + du \cdot I \langle d\omega \otimes d\omega \rangle)$$

Ordre 4

$$D^4 z = D^2 g = \beta^2 (6Cdu^{\otimes 4} + du \cdot du \cdot I \langle d\omega \otimes d\omega \rangle)$$

Géométrie asymptotique de l'ensemble de Gibbs du gaz parfait

A-t-on $I \ll \text{constant}$ dans la limite $\omega^2 \rightarrow \infty$?

A-t-on $I \ll \text{constant}$ dans la limite $\omega^2 \rightarrow \infty \gg ?$

$$I(\beta\omega^2)$$

A-t-on $I \ll \text{constant}$ dans la limite $\omega^2 \rightarrow \infty \gg ?$

$$I(\beta\omega^2) \implies \text{limite } \beta\omega^2 \rightarrow \infty.$$

Mesures de Gibbs

$$P_{\beta,r} = \frac{e^{-\frac{\beta}{2m}(p-m\omega\cdot q)^2} d^3 p}{Z_{\text{int}}(\beta)} \otimes \underbrace{\frac{e^{\beta \frac{m}{2}(\omega\cdot q)^2} d^3 q}{Z_{\text{rot}}(\beta\omega^2)}}_{\nu_{\beta,r}}$$

Mesures de Gibbs

$$P_{\beta,r} = \frac{e^{-\frac{\beta}{2m}(p-m\omega\cdot q)^2} d^3 p}{Z_{\text{int}}(\beta)} \otimes \underbrace{\frac{e^{\beta \frac{m}{2}(\omega\cdot q)^2} d^3 q}{Z_{\text{rot}}(\beta\omega^2)}}_{\nu_{\beta,r}}$$

$\nu_{\beta,r}$ ne dépend que de $\sqrt{\beta}\omega = -\frac{r}{\beta^{1/2}} \in \mathfrak{so}_3$!

Mesures de Gibbs

$$P_{\beta,r} = \frac{e^{-\frac{\beta}{2m}(p-m\omega\cdot q)^2} d^3 p}{Z_{\text{int}}(\beta)} \otimes \underbrace{\frac{e^{\beta \frac{m}{2}(\omega\cdot q)^2} d^3 q}{Z_{\text{rot}}(\beta\omega^2)}}_{\nu_{\beta,r}}$$

$\nu_{\beta,r}$ ne dépend que de $\sqrt{\beta}\omega = -\frac{r}{\beta^{1/2}} \in \mathfrak{so}_3$!

Fibration \mathbb{R}_+^* -principale de modèles statistiques :

$$\begin{aligned} P_{\beta,r} &\mapsto \nu_{\beta,r} \\ (\beta, r) &\mapsto -\frac{r}{\beta^{1/2}} \end{aligned}$$

Théorème

Soit $f : \overline{B(O, R)} \rightarrow \mathbb{R}$ continue. Alors

$$\int_{B(O, R)} f \nu_{\beta, r} \xrightarrow[\beta \omega^2 \rightarrow \infty]{R\omega \text{ fixe}} \int_{\acute{E}quateur_{\omega}} f \frac{d\theta}{2\pi}$$

Théorème

Soit $f : \overline{B(O, R)} \rightarrow \mathbb{R}$ continue. Alors

$$\int_{B(O, R)} f \nu_{\beta, r} \xrightarrow[\beta \omega^2 \rightarrow \infty]{R\omega \text{ fixe}} \int_{\text{Équateur}_\omega} f \frac{d\theta}{2\pi}$$

Permet d'estimer $D^n z_{\text{rot}}$ lorsque $\beta \omega^2 \rightarrow \infty$!

D : dérivation covariante plate dans l'algèbre de Lie $\underline{\mathbb{R}} \times \mathfrak{so}(3)$.

D : dérivation covariante plate dans l'algèbre de Lie $\underline{\mathbb{R}} \times \mathfrak{so}(3)$.

$D^2z = g$: métrique de Fisher-Rao.

$D^3z = Dg$: tenseur d'Amari-Chentsov.

$D^4z = D^2g$: intervient dans la « courbure Hessienne ».

$z(\beta, \omega) = z_{\text{int}}(\beta) + z_{\text{rot}}(\beta\omega^2)$. Posons $u = 2/\sqrt{\beta}$.

Théorème

$$D^2 z_{\text{int}} = \frac{3}{2} \beta du \otimes du$$

$$D^3 z_{\text{int}} = 3\beta^{3/2} du^{\otimes 3}$$

$$D^4 z_{\text{int}} = 9\beta^2 du^{\otimes 4}$$

$$D^n z_{\text{int}} = (n-1)! \beta^{n/2} \frac{3}{2} du^{\otimes n}$$

Potentiel rotationnel

Posons $I_\infty := \lim_{\beta\omega^2 \rightarrow \infty} I = mR^2$ ainsi que les coordonnées $(u = \frac{2}{\sqrt{\beta}}, \omega = -\frac{r}{\beta})$.

Théorème

$$D^2 z_{\text{rot}} \underset{\beta\omega^2 \rightarrow \infty}{=} \beta \left(\frac{3}{2} du \otimes du + I_\infty \langle d\omega \otimes d\omega \rangle \right) + o(1)$$

$$D^3 z_{\text{rot}} \underset{\beta\omega^2 \rightarrow \infty}{=} \beta^{3/2} (3du^{\otimes 3} + I_\infty du \cdot \langle d\omega \otimes d\omega \rangle) + o(1)$$

$$D^4 z_{\text{rot}} \underset{\beta\omega^2 \rightarrow \infty}{=} \beta^2 (9du^{\otimes 4} + I_\infty du \cdot du \cdot \langle d\omega \otimes d\omega \rangle) + o(1)$$

$$D^n z_{\text{rot}} \underset{\beta\omega^2 \rightarrow \infty}{=} \beta^{\frac{n}{2}} \left(\frac{3}{2} (n-1)! du^{\otimes n} + I_\infty du^{\cdot n-2} \cdot \langle d\omega \otimes d\omega \rangle \right) + o(1)$$

$D^n z$

$$g = D^2 z \underset{\beta\omega^2 \rightarrow \infty}{=} \beta (3du \otimes du + I_\infty \langle d\omega \otimes d\omega \rangle) + o(1)$$

$$D^3 z \underset{\beta\omega^2 \rightarrow \infty}{=} \beta^{3/2} (6du^{\otimes 3} + I_\infty du \cdot \langle d\omega \otimes d\omega \rangle) + o(1)$$

$$D^4 z \underset{\beta\omega^2 \rightarrow \infty}{=} \beta^2 (18du^{\otimes 4} + I_\infty du \cdot du \cdot \langle d\omega \otimes d\omega \rangle) + o(1)$$

$$D^n z \underset{\beta\omega^2 \rightarrow \infty}{=} \beta^{\frac{n}{2}} (3(n-1)! du^{\otimes n} + I_\infty du^{\cdot n-2} \cdot \langle d\omega \otimes d\omega \rangle) + o(1)$$

Différentielles du potentiel total

$D^n z$

$$g = D^2 z \underset{\beta\omega^2 \rightarrow \infty}{=} \beta (3du \otimes du + I_\infty \langle dw \otimes dw \rangle) + o(1)$$

$$D^3 z \underset{\beta\omega^2 \rightarrow \infty}{=} \beta^{3/2} (6du^{\otimes 3} + I_\infty du \cdot \langle dw \otimes dw \rangle) + o(1)$$

$$D^4 z \underset{\beta\omega^2 \rightarrow \infty}{=} \beta^2 (18du^{\otimes 4} + I_\infty du \cdot du \cdot \langle dw \otimes dw \rangle) + o(1)$$

$$D^n z \underset{\beta\omega^2 \rightarrow \infty}{=} \beta^{\frac{n}{2}} (3(n-1)! du^{\otimes n} + I_\infty du^{\cdot n-2} \cdot \langle dw \otimes dw \rangle) + o(1)$$

Corps rigide sphérique

$$g_{\text{rigide}} = \beta (Cdu \otimes du + I \langle dw \otimes dw \rangle)$$

Théorème

Lorsque $\beta\omega^2 \rightarrow \infty$, $D^n z$ se comporte à l'ordre dominant comme pour un corps rigide sphérique avec

$$I = I_\infty \langle \cdot, \cdot \rangle = mR^2 \langle \cdot, \cdot \rangle$$
$$C = 3$$

Théorème

Lorsque $\beta\omega^2 \rightarrow \infty$, $D^n z$ se comporte à l'ordre dominant comme pour un corps rigide sphérique avec

$$I = I_\infty \langle \cdot, \cdot \rangle = mR^2 \langle \cdot, \cdot \rangle$$
$$C = 3$$

Capacité calorifique limite $C = 3$:

gaz parfait inerte $C = 3/2 \oplus$ degrés de liberté de position : $3/2$.

Théorème

Riem : *tenseur de courbure Riemannienne de $(\Omega, g = D^2z)$.*

$$\text{Riem} \underset{\beta\omega^2 \rightarrow \infty}{=} -\frac{1}{12} \frac{g \oslash g}{2} + o(1)$$

Pour l'espace hyperbolique de courbure sectionnelle $-k$ on a

$$\text{Riem} = -k \frac{g \oslash g}{2}$$

Thermodynamique de Souriau

G -variété Hamiltonienne \implies Ensemble de Gibbs : G -variété Hessienne et Poisson Hamiltonienne.

Conclusion

Thermodynamique de Souriau

G -variété Hamiltonienne \implies Ensemble de Gibbs : G -variété Hessienne et Poisson Hamiltonienne.

Ensembles de Gibbs

- Corps rigide \implies géométrie hyperbolique,

Conclusion

Thermodynamique de Souriau

G -variété Hamiltonienne \implies Ensemble de Gibbs : G -variété Hessienne et Poisson Hamiltonienne.

Ensembles de Gibbs

- Corps rigide \implies géométrie hyperbolique,
- Gaz parfait dans une sphère :
 - structure de Poisson,

Conclusion

Thermodynamique de Souriau

G -variété Hamiltonienne \implies Ensemble de Gibbs : G -variété Hessienne et Poisson Hamiltonienne.

Ensembles de Gibbs

- Corps rigide \implies géométrie hyperbolique,
- Gaz parfait dans une sphère :
 - structure de Poisson,
 - géométrie Hessienne difficile

Conclusion

Thermodynamique de Souriau

G -variété Hamiltonienne \implies Ensemble de Gibbs : G -variété Hessienne et Poisson Hamiltonienne.

Ensembles de Gibbs

- Corps rigide \implies géométrie hyperbolique,
- Gaz parfait dans une sphère :
 - structure de Poisson,
 - géométrie Hessienne difficile, « **asymptotiquement rigide** ».

Conclusion

Thermodynamique de Souriau

G -variété Hamiltonienne \implies Ensemble de Gibbs : G -variété Hessienne et Poisson Hamiltonienne.

Ensembles de Gibbs

- Corps rigide \implies géométrie hyperbolique,
- Gaz parfait dans une sphère :
 - structure de Poisson,
 - géométrie Hessienne difficile, « **asymptotiquement rigide** ».

Remarques

- \mathfrak{g} -variétés hamiltoniennes,

Conclusion

Thermodynamique de Souriau







G -variété Hamiltonienne \implies Ensemble de Gibbs : G -variété Hessienne et Poisson Hamiltonienne.

Ensembles de Gibbs

- Corps rigide \implies géométrie hyperbolique,
- Gaz parfait dans une sphère :
 - structure de Poisson,
 - géométrie Hessienne difficile, « **asymptotiquement rigide** ».

Remarques

- g -variétés hamiltoniennes,
- fibration principales de familles exponentielles.

-  BARBARESCO, Frédéric (2022). « Chapter 4 - Symplectic theory of heat and information geometry ». In : *Geometry and Statistics*. Sous la dir. de Frank NIELSEN, Arni S.R. SRINIVASA RAO et C.R. RAO. T. 46. Handbook of Statistics. Elsevier, p. 107-143.
-  MARLE, Charles-Michel (28 oct. 2016). *Les travaux de Jean-Marie Souriau en mécanique statistique et en thermodynamique*. URL : <https://marle.perso.math.cnrs.fr/diaporamas/SeminaireHelein2016handout.pdf>.
-  — (2020). « On Gibbs States of Mechanical Systems with Symmetries ». In : *Journal of Geometry and Symmetry in Physics* 57, p. 45-85.
-  NEUTTIENS, Guillaume (2022). *États de Gibbs d'une action hamiltonienne*.
-  SHIMA, Hirohiko (2007). *The Geometry of Hessian Structures*. WORLD SCIENTIFIC. DOI : 10.1142/6241.
-  SOURIAU, Jean-Marie (1970). *Structure des systèmes dynamiques*.